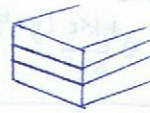


TEMA 2. FUNDAMENTOS DE GUIAS OPTICAS INTEGRADAS

Introducción

Electrónica: cuello de botella → ancho de banda → Pasar a fotónica
 transmisión → fibra óptica
 procesado → circuitos fotónicos

Circuitos fotónicos → usan guía óptica integrada
 - long. de onda
 - aplicación



Materiales:
 - contraste de índices (↑ → tamaño ↓)
 - absorción
 - efecto no lineales

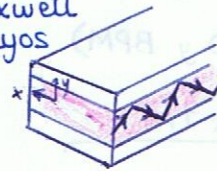
Guías Ópticas Planares

· Evitamos Maxwell
 · Teoría de rayos

$$\text{Snell } n_1 \sin \theta_1 = n_2 \sin \theta_2$$

1 Total Internal Reflection (TIR)

$$\theta > \theta_c \quad \sin \theta_c = \frac{n_2}{n_1} \Rightarrow n_1 > n_2, n_3$$



Fresnel
 Reflección al cambiar de medio
 $E_r = r \cdot E_i$

$$r = |r| e^{i\phi}$$

$$r_{TE} = \frac{n_1 \cos \theta_1 - \sqrt{n_2^2 - n_1^2 \sin^2 \theta_1}}{n_1 \cos \theta_1 + \sqrt{n_2^2 - n_1^2 \sin^2 \theta_1}}$$

$$r_{TM} = \frac{n_2^2 \cos \theta_1 - n_1 \sqrt{n_2^2 - n_1^2 \sin^2 \theta_1}}{n_2^2 \cos \theta_1 + n_1 \sqrt{n_2^2 - n_1^2 \sin^2 \theta_1}}$$

⇒ |r| = 1 si hay TIR
 ⇒ φ depende de:
 · θ
 · cambio de polariz
 · n1, n2

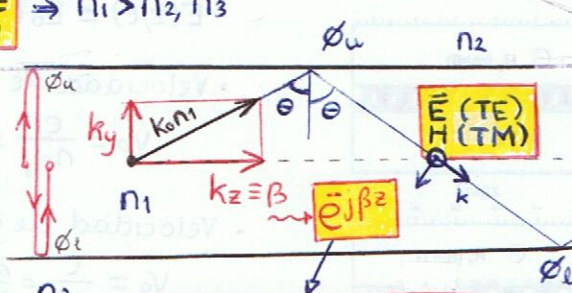
2 Vertical standing wave condition

$$2hk_y + \phi_u + \phi_e = 2m\pi$$

$k_y = k \cos \theta = k_0 n_1 \cos \theta$
 TE & TM modos m
 n1 y n2

$$k_y = k_0 n_1 \cos \theta = \frac{2m\pi - \phi_u - \phi_e}{2h}, m=0, 1, \dots, m_{max}$$

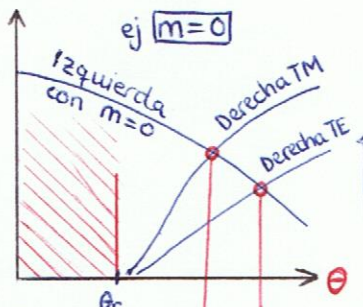
cada m implica un ángulo e cada vez menor
 mmax a partir del cual $\theta < \theta_c$



$$\beta = k_z = k \sin \theta = k_0 n_1 \sin \theta$$

$$n_{eff} = c/v_p$$

· Guía planar simétrica (n2 = n3) φu = φe



$$2hk_0 n_1 \cos \theta + 2\phi = 2m\pi$$

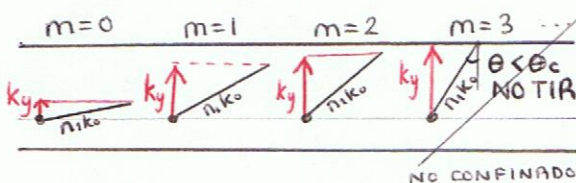
$$TE \leftrightarrow \tan \left[\frac{k_0 n_1 h \cos \theta_1 - m\pi}{2} \right] = \frac{\sqrt{\sin^2 \theta_1 - (n_2/n_1)^2}}{\cos \theta_1}$$

$$TM \leftrightarrow \tan \left[\frac{k_0 n_1 h \cos \theta_1 - m\pi}{2} \right] = \frac{\sqrt{(n_1/n_2)^2 \sin^2 \theta_1 - 1}}{(n_2/n_1) \cos \theta_1}$$

En guías simétricas existe SIEMPRE el modo guiado m=0 para cada polariz. Modo fundamental. Frec. corte cero

1 ignorar posibles soluciones aquí

Nº de modos (⌊mmax⌋ + 1)



$$k_y = k_0 n_1 \cos \theta_1 = \frac{2m\pi - \phi_u - \phi_e}{2h} \approx \frac{2m\pi}{2h}$$

$$\theta_1 = \theta_c \leftrightarrow m_{max}$$

$$m_{max} = \frac{h k_0 n_1 \cos \theta_c}{\pi}$$

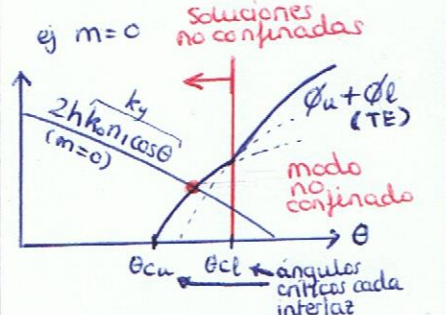
$$m_{max} = 2 \sqrt{n_1^2 - n_2^2} \frac{h}{\lambda}$$

Si Exigimos $m_{max} < 1$
 Condición monomodo
 $\frac{h}{\lambda} \leq \frac{1}{2\sqrt{n_1^2 - n_2^2}}$

$$\phi_{TE} = 2 \tan^{-1} \frac{\sqrt{\sin^2 \theta_1 - \left(\frac{n_2}{n_1}\right)^2}}{\cos \theta_1}$$

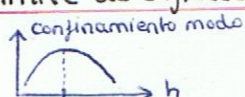
$$\phi_{TM} = 2 \tan^{-1} \frac{\sqrt{\frac{n_1^2}{n_2^2} \sin^2 \theta_1 - 1}}{\frac{n_2}{n_1} \cos \theta_1}$$

En guías asimétricas NO SIEMPRE existe un modo guiado m=0 (especialmente si hay bajo contraste de índices)



solución:
 → aumentar 2hk_y → índice n1
 → disminuir θ_c (contraste índices)
 (puede ser guiada solo una polarización)

· Límite de difracción



Máximo confinamiento guía monomodo $h \approx \frac{\lambda}{2n_1}$

Teoría electromagnética

Perfil Modal calculable

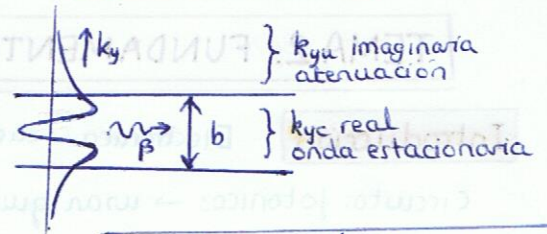
$$k_{yi}^2 + \beta^2 = k_0^2 n_i^2$$

Ecs. Maxwell

$$\nabla^2 \vec{E} = \mu_m \epsilon_m \frac{\partial^2 \vec{E}}{\partial t^2}$$

$$\frac{\partial^2 E_x}{\partial y^2} + \frac{\partial^2 E_x}{\partial z^2} = \mu_m \epsilon_m \frac{\partial^2 E_x}{\partial t^2} \rightarrow \vec{E}_x =$$

$$\vec{E}_x(y) = \begin{cases} E_u e^{-jk_{yu}(y-b/2)} \\ E_c e^{-jk_{yc} \cdot y} \\ E_l e^{+jk_{yl}(y+b/2)} \end{cases} \cdot e^{-i\beta z} \cdot e^{j\omega t}$$



Condiciones de contorno $\Rightarrow \tan^{-1}\left[\frac{k_{yl}}{k_{yc}}\right] + \tan^{-1}\left[\frac{k_{yu}}{k_{yc}}\right] = k_{yc}h + m\pi$

Expresión para los modos idéntica a la obtenida por rayos

Métodos numéricos (FDTD y BPM)

Velocidades

$$E(z,t) = E_0(z - v_g t) e^{i(\beta z - \omega t)}$$



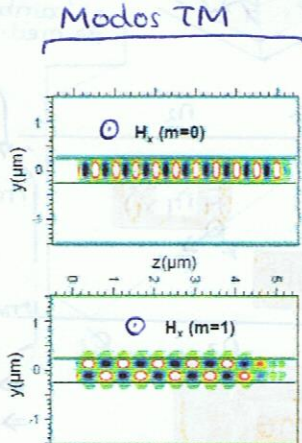
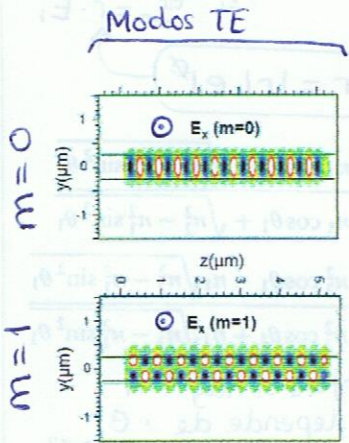
• Velocidad de fase:

$$v_p = \frac{c}{n_{eff}} = \frac{\omega}{\beta}$$

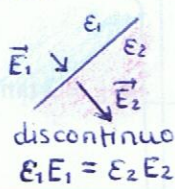
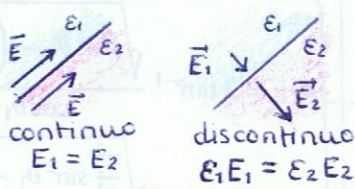
• Velocidad de grupo

$$v_g = \frac{c}{n_g} = \frac{\partial \omega}{\partial \beta}$$

si n_{eff} no varía en frecuencia (no dispersivo) $n_g = n_{eff}$



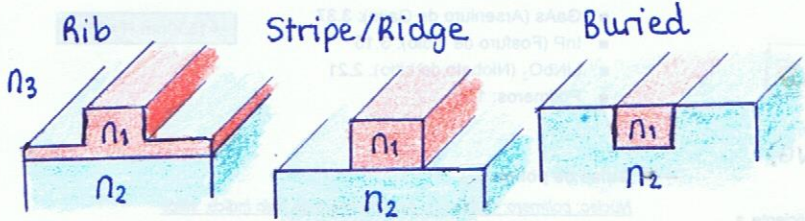
Recuerda:



E_y sería discontinuo (i)
 E_z sería continuo

Guías ópticas rectangulares

$n_1 > n_2, n_3$ confinamiento por TIR

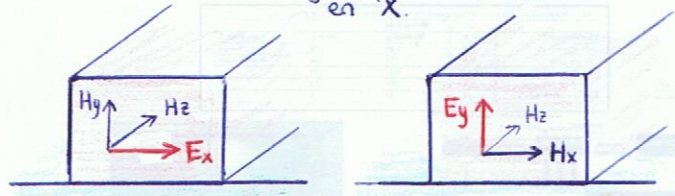


$n_2, n_3 < n_{eff} < n_1$

to dan los simuladores $\beta = k_0 n_{eff}$

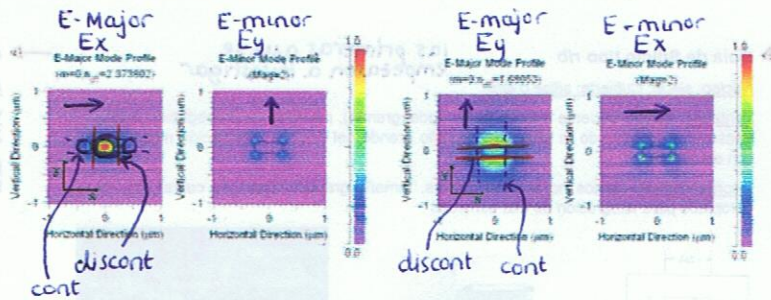
Estrictamente no es TE y TM pero se llaman así inspirándose en la guía planar vista de lado según que campo PREDOMINE en X.

Polarización



TE
• Predomina Ex

TM (a pesar de que existe Hz)
• Predomina Ey



- Puede no predominar ni Ex ni Ey y no sabríamos cómo llamar al modo
- Si la guía es simétrica, existe siempre modo m=0 en ambas polarizaciones. Si no, se puede intentar una guía monomodo y con única polarización (difícil)

Contraste de índices

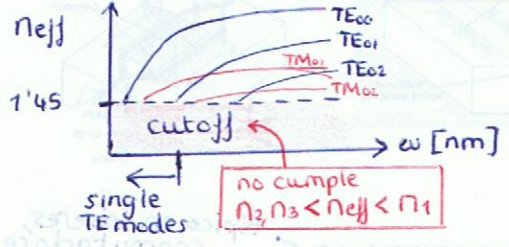
$\Delta n = \frac{n_1^2 - n_2^2}{2n_1}$ (límite de difracción menor)

- $\Delta n \uparrow \Rightarrow$
- ☺ - Confinamiento mayor
 - ☺ - Permite curvatura mayor
 - ☹ - Acoplo a fibra complicado
 - ☹ - Pérdidas de propagación mayores

Transmisión monomodo/multimodo

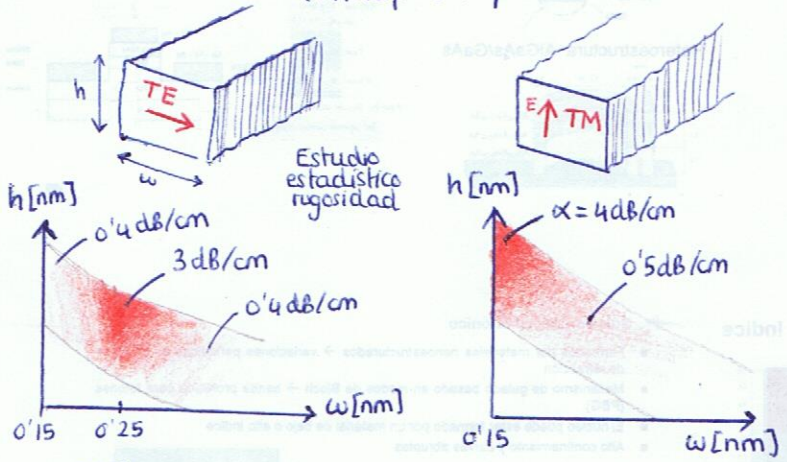
Suele calcularse con métodos numéricos (BPM: Beam Propagation Method)

ej: $n_1 = 3.47, n_2 = 1.45, n_3 = 1, h = 220\text{nm}, \lambda = 1550\text{nm}$



Pérdidas de propagación α (dB/cm)

- ↳ Absorción: Despreciable a bajas potencias
- ↳ Scattering: Rugosidad en las paredes (Principales pérdidas)



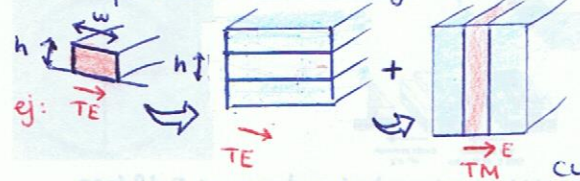
Disminuir la anchura del núcleo por debajo del límite de difracción hace que el modo "se salga" de la guía y le afecta poco la rugosidad



Método del índice efectivo

- Para aproximar con solución analítica
- Poco preciso cuando $\Delta n \uparrow$

① Descomponer guía rectangular en planar horizontal y vertical



② calcular índice efectivo de la guía horizontal

③ utiliza dicho índice efectivo como índice del núcleo de la vertical

cuidado con la polariz. (ver ejemplo)

Ejemplos de guías ópticas integradas

Índices de refracción de materiales más comunes:

- Silicio: 3.47
- Sílice (SiO₂): 1.45
- GaAs (Arseniuro de Galio): 3.37
- InP (Fosforo de Indio): 3.15
- LiNbO₃ (Niobato de Litio): 2.21
- Polímeros: 1.2 - 1.7

$\lambda=1550\text{nm}$, $T=25^\circ\text{C}$

Guías de Sílice (SiO₂)

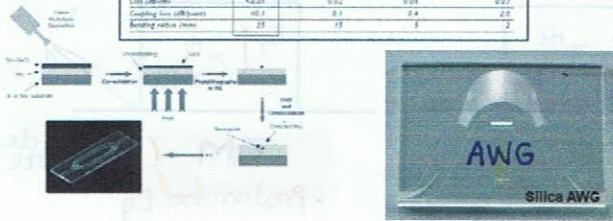
Núcleo: sílice dopado; Cubiertas: sílice

Ventajas: tecnología madura, pérdidas de propagación muy bajas, acoplo eficiente a fibra, posibilidad de ajuste mediante efectos térmicos

Inconvenientes: radio de curvatura grande (dispositivos grandes), efectos no lineales muy débiles, dificultad de integración con dispositivos activos

Lo típico hoy día (AWG) bajo contraste

Characteristics	Low Δ	Medium Δ	High Δ	Super-high Δ
Index difference (%)	0.2	0.45	0.75	1.5 - 2.0
Core size (μm)	3-6	3-7	4-6	4-6 (3 - 5)
Loss coefficient	<0.2	0.02	0.02	0.02
Coupling loss coefficient	0.1	0.1	0.4	0.5
Bending radius (mm)	25	15	5	2



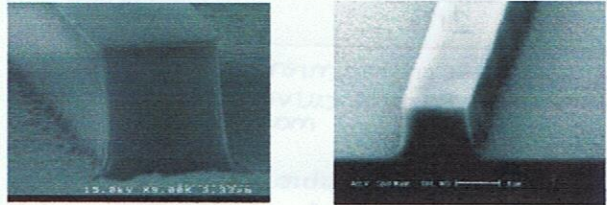
Guías de polímeros

Núcleo: polímero; Cubiertas: aire, polímero de bajo índice, sílice

Similar al caso de las guías de sílice

Algunos polímeros pueden diseñarse para tener efectos no lineales altos \rightarrow muy apropiado para aplicaciones no lineales

El índice de refracción puede variar en un rango relativamente amplio



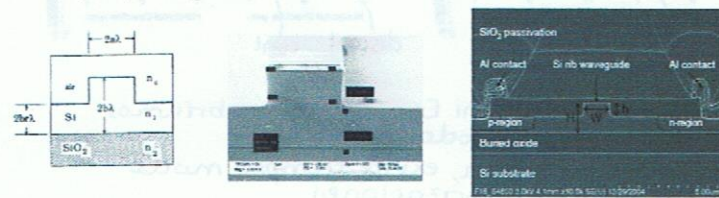
Guía de Silicio tipo rib

Núcleo: sílice; Cubierta: sílice o aire

Ventajas: acoplo eficiente a fibra (perfil modal grande), pérdidas de propagación bajas, transmisión monomodo (a pesar del tamaño grande del núcleo), integración monolítica con electrónica

Inconvenientes: efectos no lineales débiles, tamaño grandes (radio de curvatura), no apropiado para integración de alta densidad

las primeras que se empezaron a investigar



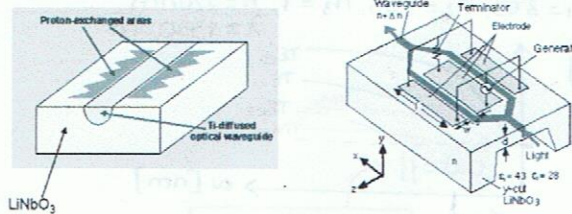
Guías de Niobato de Litio (LiNbO₃)

Núcleo: Titanio difundido en LiNbO₃; Cubierta: LiNbO₃ o aire

Ventajas: tecnología madura, alto coeficiente electro-óptico (moduladores Mach-Zehnder), acoplo eficiente a fibra

Inconvenientes: integración de baja densidad, sensible a la polarización, no permite fabricación en masa (no usa máquinas estándar electrónica)

típico en moduladores electro-ópticos



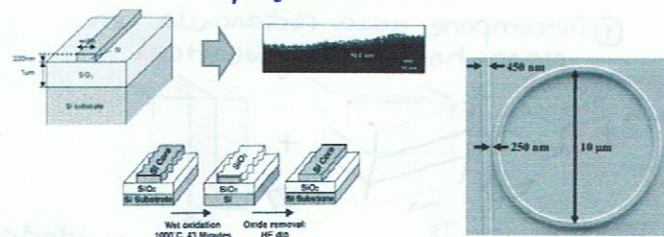
Guía de Silicio tipo strip (silicon wires)

Núcleo: sílice; Cubierta: sílice o aire

Ventajas: alto confinamiento, integración de alta densidad, posibilidad de fabricación en masa, integración monolítica con electrónica

Inconvenientes: pérdidas de propagación (>1dB/cm), efectos no lineales débiles, efecto electro-óptico despreciable, acoplo a fibra ineficiente

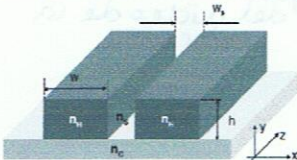
bajo efecto electro-óptico



pérdidas están bajando a < 5dB/cm

Otros mecanismos de guiado

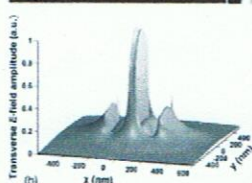
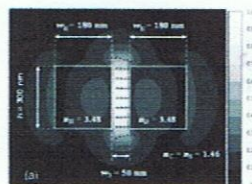
Guía tipo slot: confinamiento y guiado de luz en material de bajo índice



ESTRUCTURA: región (slot) con un material de bajo índice situado entre dos guías de alto índice (silicio)

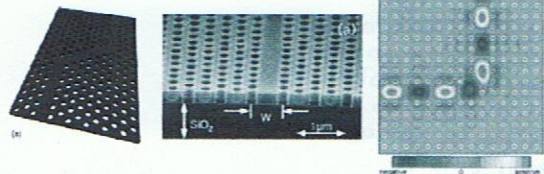
MECANISMO DE GUIADO: basado en la discontinuidad del campo eléctrico en las interfaces con el material de alto índice \rightarrow modo guiado existe sólo para la polarización TE

APLICACIONES: introducción de materiales en la slot \rightarrow sensores fotónicos, efectos no lineales (conmutación)



Guías en cristal fotónico

- Formados por materiales nanoestructurados \rightarrow variaciones periódicas en el índice de refracción
- Mecanismo de guiado basado en modos de Bloch \rightarrow banda prohibida para fotones (PBG)
- El núcleo puede estar formado por un material de bajo o alto índice
- Alto confinamiento y curvas abruptas



Guías plasmónicas

Guías de compuestos III-V (GaAs, InP)

Núcleo: $n \approx 3.5$; Cubiertas: compuestos con índice ligeramente menor

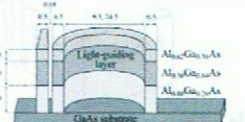
Ventajas: efectos no lineales altos (funcionalidades activas), integración con láseres y detectores, pérdidas de propagación bajas, acoplo eficiente a fibra

Inconvenientes: no permite fabricación en masa, caros

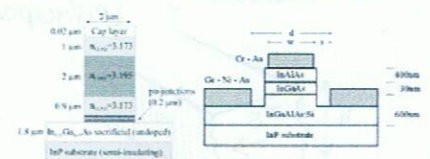
típico en láseres, conmutadores

Guía de GaAs tipo rib

Heteroestructura AlGaAs/GaAs



Heteroestructuras III-V



TEMA 3: ESTRUCTURAS FUNCIONALES BÁSICAS

GUIA ÓPTICA

Confinamiento transversal a propagación TIR $n_1 > n_2, n_3$

A mayor contraste $n_1 > n_2, n_3$
 - más confinamiento
 - menor tamaño
 - más pérdidas por rugosidad
 depende del contraste, dimensiones y λ

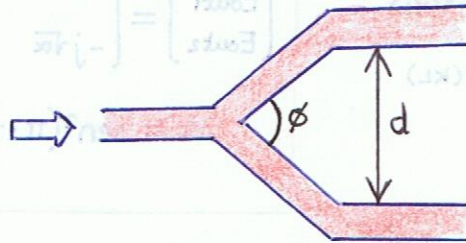
Modos: conjunto discreto TE y TM - interesa monomodo $m=0$ en un cierto ancho de banda

$$E(x, y, z, t) = E_0(x, y) e^{(-\alpha + j\beta)z} e^{j\omega t}$$

$\beta = k_0 n_{\text{eff}}$
 $n_{\text{cla}} < n_{\text{eff}} < n_{\text{core}}$
 rugosidad (no la da el simulador)

UNION EN Y

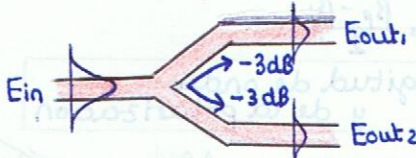
amplio espectro
 muy baja dependencia con la polarización



Para d fijo:

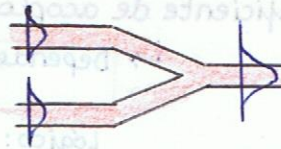
$\phi \uparrow \rightarrow$ más compacta
 \rightarrow más pérdidas por radiación

Divisor de potencia



$$E_{\text{out}1} = E_{\text{out}2} = \frac{E_{\text{in}}}{\sqrt{2}}$$

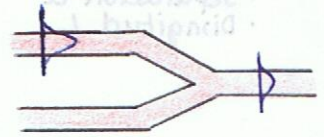
Combinador de potencia



$$E_{\text{out}} = \frac{1}{\sqrt{2}} (E_{\text{in}1} + E_{\text{in}2})$$

suma en campo incluye fase!

cuidado:

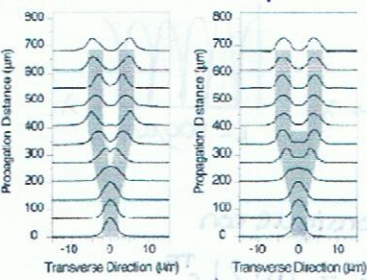


si entra sólo por un brazo, a la salida la potencia se divide en dos.
 Es porque sólo se tx la componente par (de la pot?)

$$I_1 = I_{\frac{1}{2}} + I_{\frac{1}{2}}$$

Optimización de la bifurcación (pérdidas) \rightarrow varios artículos

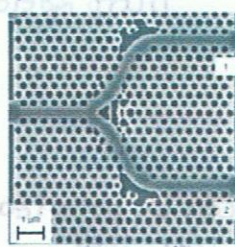
convencional index-tapered



Low loss ultra small

Schematic	Loss
(a) $0.5 \mu\text{m}$ $\theta = 15^\circ$	2.0 dB
(b) $0.8 \mu\text{m}$	0.5 dB
(c) $0.42 \mu\text{m}$	0.5 dB
(d) $0.84 \mu\text{m}$	0.1 dB
(e) $0.9 \mu\text{m}$	0.3 dB
(f) $5.85 \mu\text{m}$	0.1 dB

photonic crystal



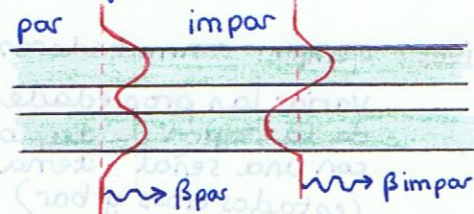
no es fácil. Esta optimizado con algoritmos genéticos

ACOPLADOR DIRECCIONAL

Dos modelos: Supermodos y Acoplamiento de modos

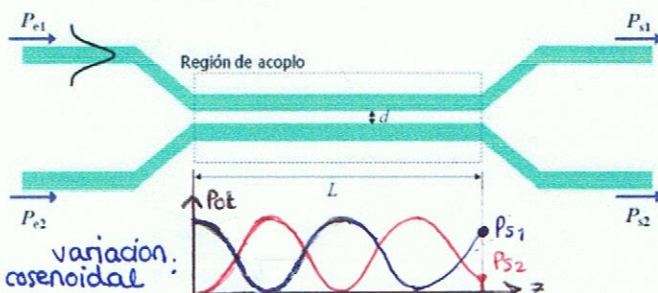
Teoría de supermodos

En la región de acoplamiento existen dos modos:



El desfase relativo entre los dos modos varía con la propagación

$$L_B = \frac{2\pi}{|\beta_p - \beta_i|}$$



L_c : longitud de acoplamiento
 L_B : longitud de batido

Teoría de acoplo de modos

coef. de acoplo

Factor de amplitud a cada modo

$$\begin{matrix} A(z) \cdot E_0(x,y) e^{i\beta z} \\ B(z) \cdot E_0(x,y) e^{i\beta z} \end{matrix} \begin{matrix} \nearrow K \\ \searrow K \end{matrix}$$

$$\left. \begin{matrix} \frac{\partial A(z)}{\partial z} = K \cdot B(z) \\ \frac{\partial B(z)}{\partial z} = K \cdot A(z) \end{matrix} \right\}$$

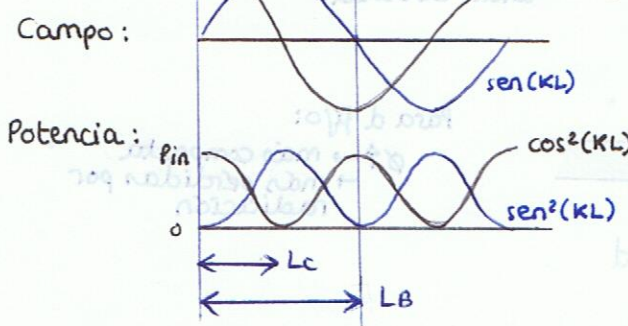
$$\begin{matrix} A(z) = \cos(\kappa L) \\ B(z) = \sin(\kappa L) \\ P_{s1} = P_{e1} \cdot \cos^2(\kappa L) \\ P_{s2} = P_{e2} \cdot \sin^2(\kappa L) \end{matrix}$$

$$L_B = \pi/\kappa$$

desfase de $\pi/2$ entre salidas

$$\begin{bmatrix} E_{out1} \\ E_{out2} \end{bmatrix} = \begin{bmatrix} \sqrt{1-\alpha} & -j\sqrt{\alpha} \\ -j\sqrt{\alpha} & \sqrt{1-\alpha} \end{bmatrix} \begin{bmatrix} E_{in1} \\ E_{in2} \end{bmatrix}$$

$$\alpha = \sin^2\left(\pi \cdot \frac{L}{L_B}\right) \rightarrow \alpha \text{ es el \% de potencia que sale por el otro lado}$$



Parámetros básicos

- Separación d
- Longitud L

$$d \downarrow \rightarrow \kappa \uparrow \rightarrow L_B \downarrow$$

- Coeficiente de acoplo: $\kappa = \frac{\pi}{L_B} = \frac{\beta_e - \beta_o}{2}$

↳ Depende de la longitud de onda y de la polarización

Lógico:

$$\begin{matrix} \beta_e = k_0 \cdot n_e = \frac{2\pi}{\lambda} n_e \\ \beta_o = k_0 \cdot n_o = \frac{2\pi}{\lambda} n_o \end{matrix}$$



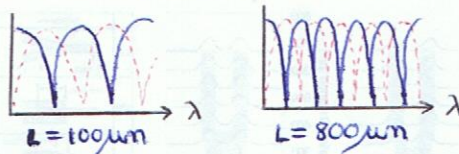
Mayor acoplo



Aplicaciones

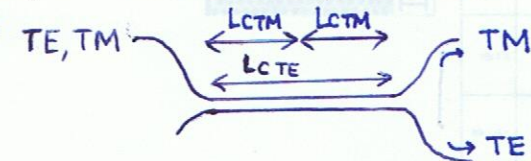
- Divisor/combinador de potencia a 3dB ($\alpha = 50\%$)
- Divisor de potencia 1:99 ($\alpha = 1\%$) \rightarrow "tomar una muestra"
- Aprovechar dependencia con λ : multiplexador/demultiplexador, filtro óptico

A mayor L, más afecta un cambio en λ



- Aprovechar la dependencia con la polarización

separador de polarización

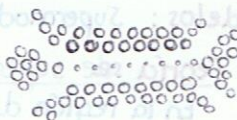


se consigue con

$$L_c^{TM} = m \cdot 2L_c^{TE}$$



- Acopladores con cristales fotónicos



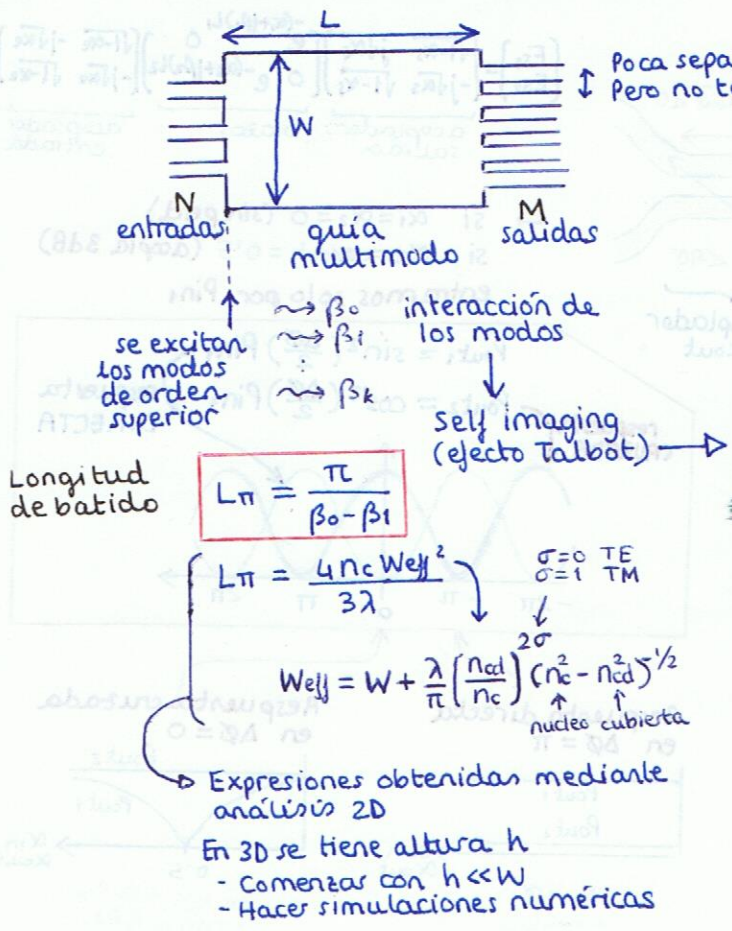
Reducción de la longitud

- Activos: ejemplo: Conmutadores

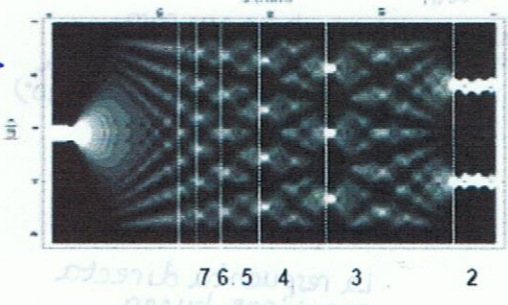
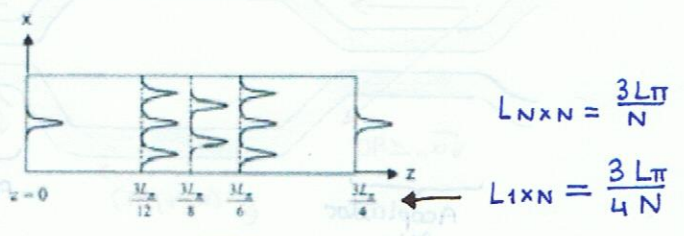
variar las propiedades de la región de acoplo con una señal externa (estados cross y bar)



INTERFEROMETRO MULTIMODO (MMI)

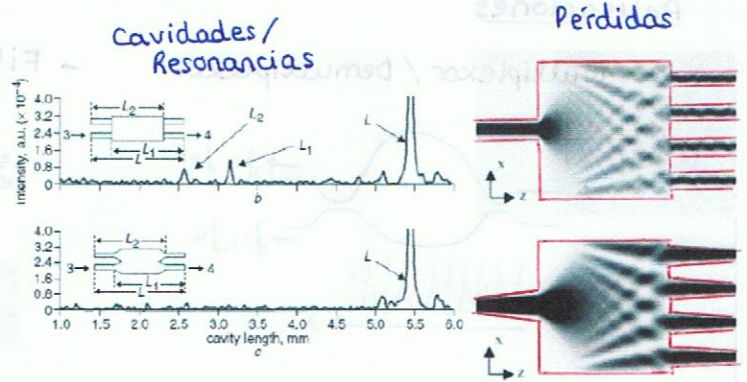


Poca separación para minimizar W y por tanto L Pero no tan pequeña como para tener acople



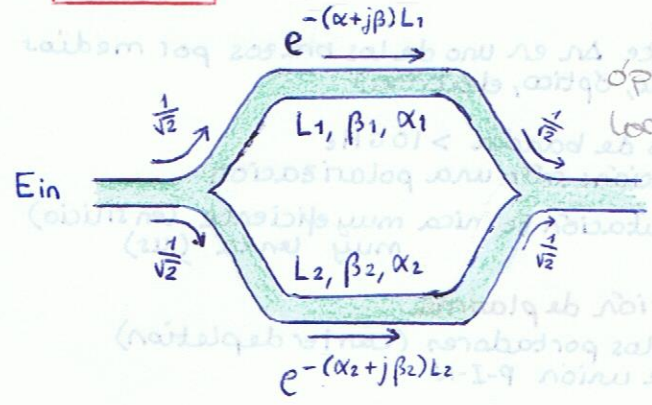
- Ventajas:**
- Funcionamiento en amplio espectro
 - Baja dependencia con la polarización
 - Tolerancia alta a desviaciones en fabricación

- Optimizar guías entrada/salida:
 - minimizar reflexiones → Fabry Perots
 - reducir pérdidas de transmisión (tapered)



INTERFERÓMETRO MACH-ZENDER

→ 1x1 MZI



se basa en la interferencia de 2 señales ópticas q parten de un mismo origen y recorren longitudes efectivas \neq \Rightarrow dif. fase \Rightarrow dif. pot. en out

$$E_{out} = \frac{1}{2} \left(e^{-(\alpha_1 + j\beta_1)L_1} + e^{-(\alpha_2 + j\beta_2)L_2} \right) E_{in}$$

\hookrightarrow si $\alpha_1 L_1 = \alpha_2 L_2$

\hookrightarrow si $\alpha_1 L_1 \neq \alpha_2 L_2$ se degrada el

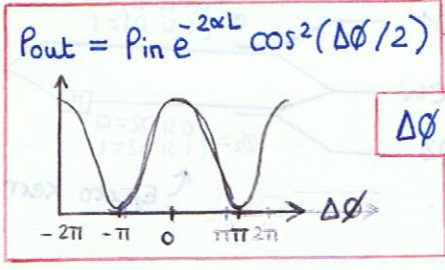
$$\text{ratio de extinción} = 10 \log \left(\frac{P_{max}}{P_{min}} \right)$$

$$E_{out} = e^{-\alpha L} E_{in} \cdot \frac{1}{2} (e^{-j\beta_1 L_1} + e^{-j\beta_2 L_2})$$

$$= e^{-\alpha L} E_{in} \cdot e^{-j\beta_1 L_1} \cdot \frac{1}{2} (1 + e^{-j\Delta\phi})$$

$$= e^{-\alpha L} E_{in} \cdot e^{-j\beta_1 L_1} \cdot e^{-j\frac{\Delta\phi}{2}} \cdot \left[\frac{e^{j\frac{\Delta\phi}{2}} + e^{-j\frac{\Delta\phi}{2}}}{2} \right]$$

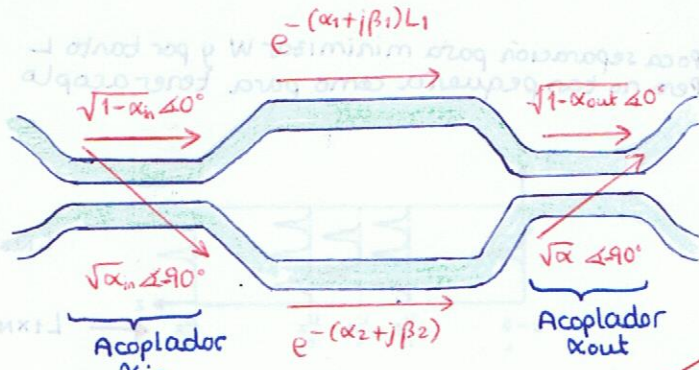
$$\cos(\Delta\phi/2)$$



$$\Delta\phi = \beta_2 L_2 - \beta_1 L_1$$

→ **2x2 MZI**

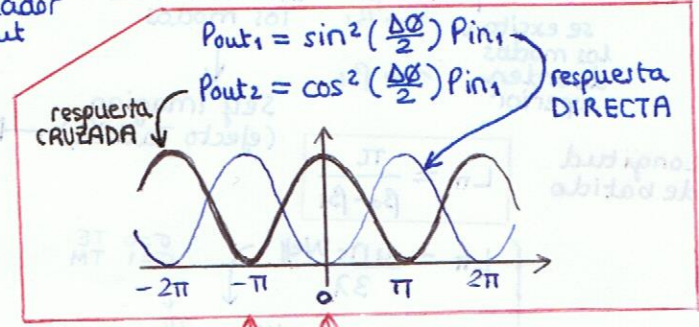
(IMM) multiplicación de matrices:



$$\begin{pmatrix} E_{s1} \\ E_{s2} \end{pmatrix} = \underbrace{\begin{pmatrix} \sqrt{1-\alpha_s} & -j\sqrt{\alpha_s} \\ -j\sqrt{\alpha_s} & \sqrt{1-\alpha_s} \end{pmatrix}}_{\text{acoplador salida}} \underbrace{\begin{pmatrix} e^{-(\alpha_1 + j\beta_1)L_1} & 0 \\ 0 & e^{-(\alpha_2 + j\beta_2)L_2} \end{pmatrix}}_{\text{brazos}} \underbrace{\begin{pmatrix} \sqrt{1-\alpha_e} & -j\sqrt{\alpha_e} \\ -j\sqrt{\alpha_e} & \sqrt{1-\alpha_e} \end{pmatrix}}_{\text{acoplador entrada}} \begin{pmatrix} E_{e1} \\ E_{e2} \end{pmatrix}$$

↳ si $\alpha_1 = \alpha_2 = 0$ (sin perd.)
 si $\alpha_{in} = \alpha_{out} = 0.5$ (acopla 3dB)
 entramos solo por P_{in1}

¡No olvidar el desfase! → hace que para $\Delta\phi = 0$, la potencia salga por la salida cruzada (y fase -90°)

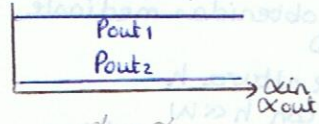


↳ si $\alpha_{in} = \alpha_{out} \neq 0.5$
 Acopladores no son 3dB

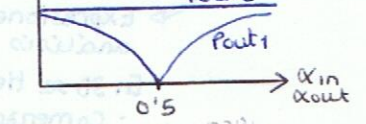
- La respuesta directa mantiene buena relación de extinción si $\alpha_{in} = \alpha_{out}$
- La respuesta cruzada empeora su relación de extinción

Recuerda: el acoplador depende de λ y de polariz.

Respuesta directa en $\Delta\phi = \pi$

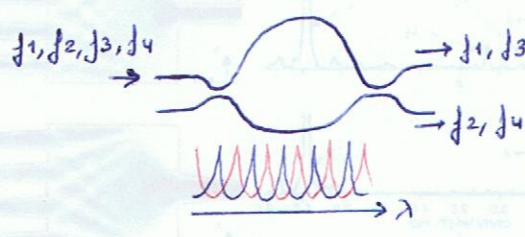


Respuesta cruzada en $\Delta\phi = 0$

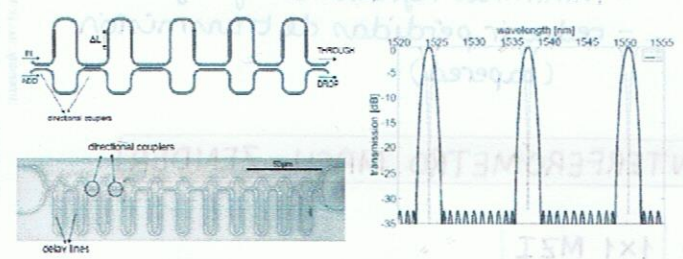


Aplicaciones

- Multiplexor / Demultiplexor



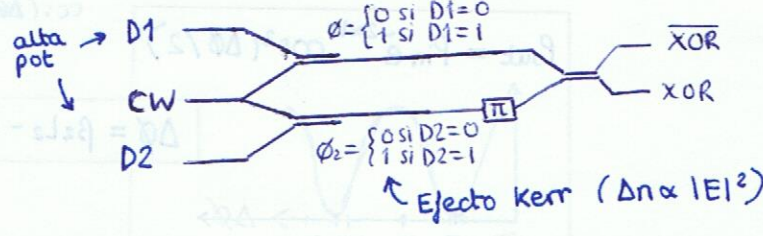
- Filtros ópticos (MZI en cascada)



- Modulador: Inducir un cambio de índice Δn en uno de los brazos por medios externos (acústico, térmico, óptico, eléctrico)

- ↳ Modulador electro-óptico: - ancho de banda > 10 GHz
 - limitación: sólo una polarización
- ↳ Conmutador termo-óptico: - conmutación térmica muy eficiente (en silicio) muy lenta (μs)
- ↳ Modulador electro-óptico por dispersión de plasma
 campo eléctrico externo vacía los portadores (carrier depletion) lo cual varía n . Requiere unión P-I-N

- Conmutador todo-óptico:



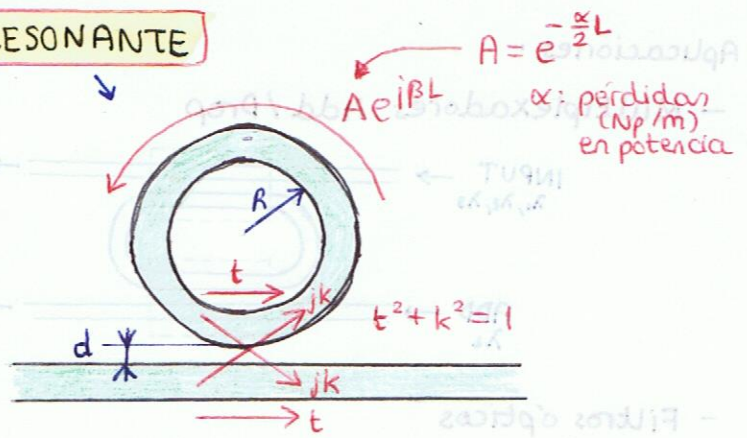
all optical XOR

↑ Efecto Kerr ($\Delta n \propto |E|^2$)

CAVIDAD RESONANTE / ANILLO RESONANTE

Confinamiento del campo electromagnético en todas las direcciones

Soluciones de campo para ciertas frecuencias discretas (modos resonantes)



Anillo sin pérdidas $A=1$

$$\frac{E_{out}}{E_{in}} = t - k^2 e^{i\beta L} - k^2 t e^{i2\beta L} - k^2 t^2 e^{i3\beta L} - \dots$$

en resonancia se suman en fase

$$= t - k^2 (e^{i\beta L} + t e^{i2\beta L} + t^2 e^{i3\beta L} + \dots)$$

$$= t - k^2 \frac{e^{i\beta L}}{1 - t e^{i\beta L}}$$

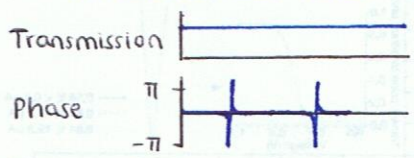
$$E_{out} = E_{in} \cdot \frac{t - e^{i\beta L}}{1 - t e^{i\beta L}}$$

Resonancia: $\beta L = m \cdot 2\pi$

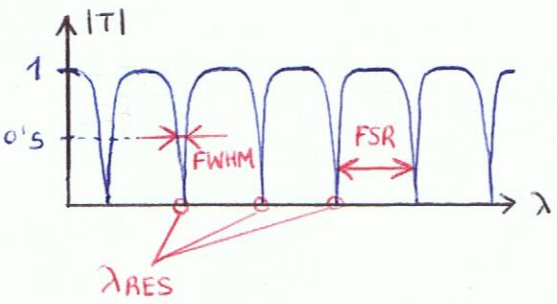
$$n_{eff} \cdot \frac{2\pi}{\lambda} \cdot L = m \cdot 2\pi$$

$$\lambda_{RES} = \frac{n_{eff} \cdot L}{m}$$

→ Fuera de reson. $E_{out} = 1$
 → En resonancia $E_{out} = -1$



Características:



$$\lambda_{RES} = \frac{n_{eff} \cdot L}{m}$$

$$FSR = \frac{\lambda_{RES}^2}{n_g \cdot L}$$

$$Q = \frac{\lambda_{RES}}{FWHM}$$

Anillo con pérdidas ($A < 1$)

$$\frac{E_{out}}{E_{in}} = t - k^2 (A e^{i\beta L} + A^2 e^{i2\beta L} t + A^3 e^{i3\beta L} t^2 + \dots)$$

$$= t - k^2 \frac{A e^{i\beta L}}{1 - A t e^{i\beta L}}$$

$$E_{out} = E_{in} \cdot \frac{t - A e^{i\beta L}}{1 - t A e^{i\beta L}}$$

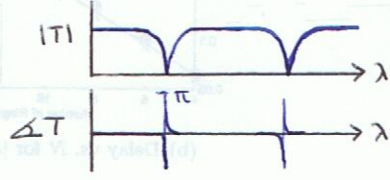
$$A = e^{-\frac{\alpha}{2} L}$$

$$t = \sqrt{1 - k^2}$$

↑ acoplo

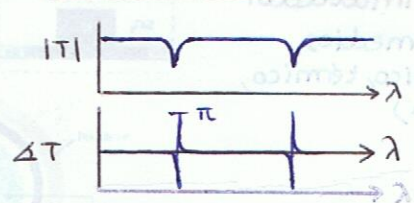
→ En resonancia $e^{i\beta L} = e^{i2\pi m} = 1 \rightarrow E_{out} = E_{in} \frac{t - A}{1 - tA}$

↳ Acoplo crítico $A = t$



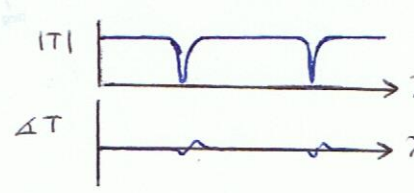
$E_{out} = 0$
 Fase = π
 Relación de extinción máxima

↳ Sobreacoplado: $A > t$



$E_{out} < 0$
 $|E_{out}| > 0$
 Fase = π
 Los nombres tienen sentido si pensamos que k es el acoplo

↳ Subacoplado $A < t$

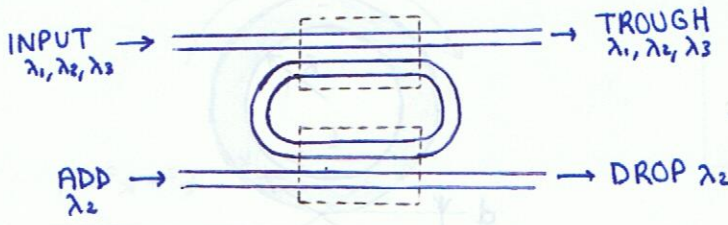


$E_{out} > 0$
 $|E_{out}| > 0$
 Fase = 0

Parámetros: Radio $R \rightarrow L = 2\pi R \rightarrow \lambda_{RES}, FSR$
 Separación entre guías $d \rightarrow k \rightarrow Q, FWHM$
cte de acoplo

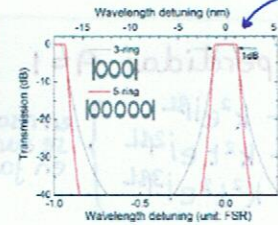
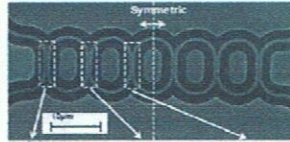
• Aplicaciones :

- Multiplexadores Add / Drop



- Filtros ópticos

Respuesta en amplitud de agrupaciones de anillos resonantes acoplados

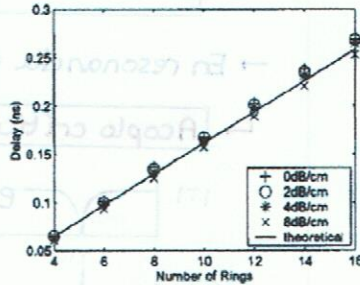


- Líneas de retardo ópticas / compensadores de dispersión

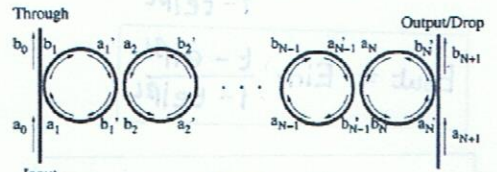
La respuesta en fase cambia bruscamente en la resonancia

$$\tau_g = \frac{\partial \phi}{\partial \omega} \uparrow \uparrow$$

$$v_g \downarrow \downarrow \rightarrow \text{retarder}$$



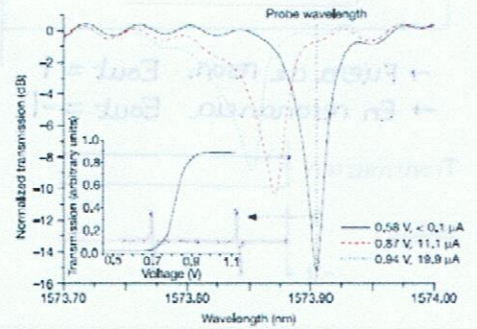
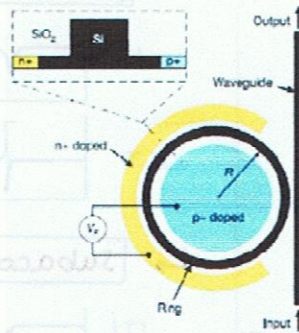
(b) Delay vs. N for $|\kappa| = 0.1$.



Compromiso entre retardo, ancho de banda y pérdidas

- Modulador / conmutador

Inducir Δn por medios externos (acústico, térmico, óptico, eléctrico)



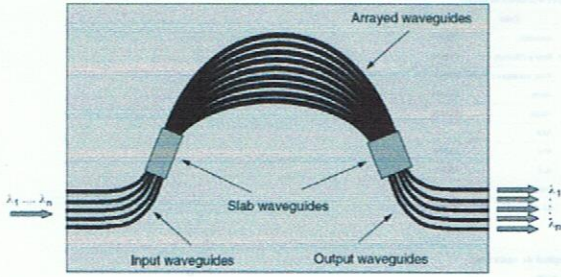
$$Q = \frac{\omega}{\Delta \omega} = \frac{2\pi f}{\Delta f} = \frac{2\pi R}{\Delta R} = \frac{2\pi R}{\lambda} \cdot \frac{\lambda}{\Delta \lambda} = \frac{2\pi R}{\lambda} \cdot Q_{\text{ring}}$$



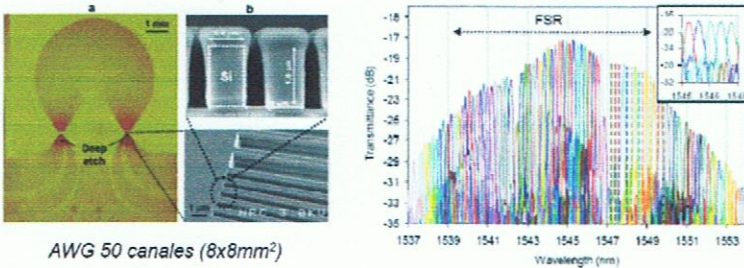
Parámetros: Radio $R \rightarrow L = 2\pi R \rightarrow \Delta R = \lambda \rightarrow \Delta f = \frac{c}{\lambda} \rightarrow \Delta \omega = \frac{2\pi c}{\lambda} \rightarrow Q = \frac{\omega}{\Delta \omega} = \frac{2\pi R}{\lambda} \cdot \frac{\lambda}{\Delta \lambda} = \frac{2\pi R}{\lambda} \cdot Q_{\text{ring}}$

ARRAYED-WAVEGUIDE GRATINGS

- Los *arrayed waveguide gratings* (AWG) se usan generalmente como (de)multiplexores en redes ópticas WDM
- Esta formado por dos acopladores en estrella que conectan un conjunto de guías ópticas de diferente longitud



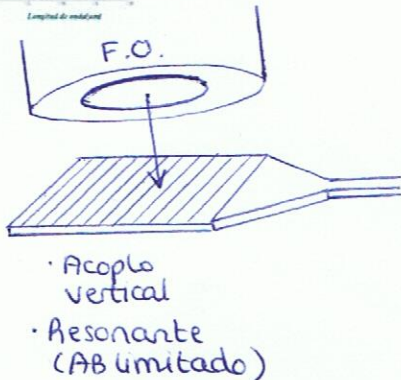
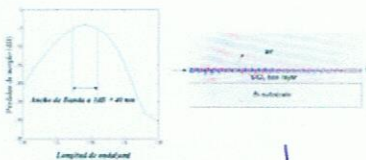
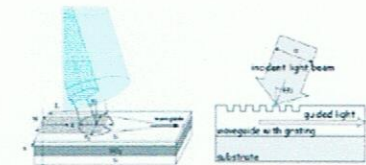
- Actualmente se implementan en Silicio = bajo índice = gran tamaño
- AWGs en tecnología de Silicio
 - Reducción del tamaño debido al alto contraste de índices
 - Algunas demostraciones experimentales



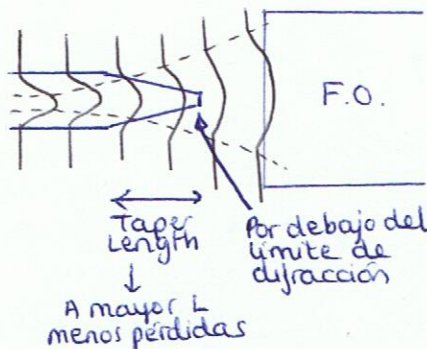
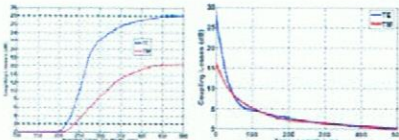
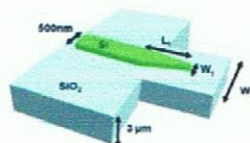
ESTRUCTURAS DE ACOPLO FIBRA-GUÍA

- Altas pérdidas de acoplo (>15dB) entre fibra óptica y guías ópticas nanofotónicas debido principalmente a la gran diferencia de tamaños → necesidad de estructuras de acoplo

GRATING COUPLER



INVERTED TAPER



TÉCNICA DE ACOPLO	Inverted taper	Grating coupler
Posibilidad de testeo a nivel de oblea	Baja (acoplo horizontal)	Alta (acoplo vertical)
Pérdidas de acoplo	~ 1dB	> 3 dB (puede mejorarse con diseños más complejos)
Ancho de banda	> 100nm	~ 40 nm
Polarización	Insensible (Puede funcionar para ambas polarizaciones)	Sensible (Funciona a una sola polarización)
Longitud de acoplo	~ 100μm	~ 40μm (~300μm) (Grating + estructura de acoplo horizontal)

DISPOSITIVOS ACTIVOS : EMISORES / DETECTORES

Emisión

LÁSER (Light Amplification by Stimulated Emission of Radiation):

- Basado en el efecto de emisión estimulada para generar luz coherente y monocromática al ser excitado por una señal eléctrica
- Grandes retos en nanofotónica: láser en silicio

LED (Light Emitting Diode)

- Basado en el efecto de emisión espontánea para generar luz quasi-monocromática al ser excitado por una señal eléctrica

Detección

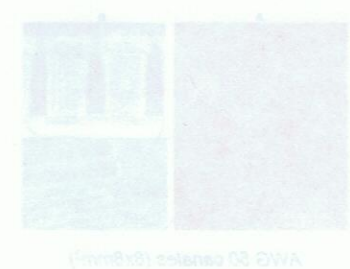
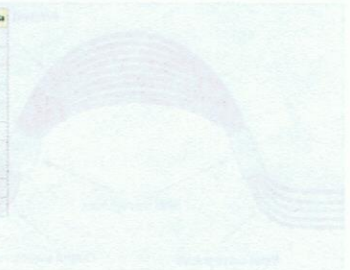
Fotodiodo

- Semiconductor sensible a la incidencia de la luz visible o infrarroja de forma que se genera una circulación de corriente eléctrica cuando es excitado por luz
- Fotodetectores SiGe → compatibles CMOS, detección a 1550 nm

Compendio empírico en la construcción de LED

Componente	Color	Long. de onda
Arsenuro de galio (GaAs)	Infrarrojo	880nm
Arsenuro de galio y aluminio (AlGaAs)	Rosá y rojo	650nm
Arsenuro fosfuro de galio (GaAsP)	Rosá, naranja y amarillo	630nm
Fosfuro de galio (GaP)	Verde	560nm
Nitruro de galio (GaN)	Verde	525nm
Seleniuro de zinc (ZnSe)	Azul	
Nitruro de galio e indio (InGaN)	Azul	450nm
Carbono de silicio (SiC)	Azul	400nm
Diamante (C)	Ultravioleta	
Óxido de Zn	De descubrimiento	

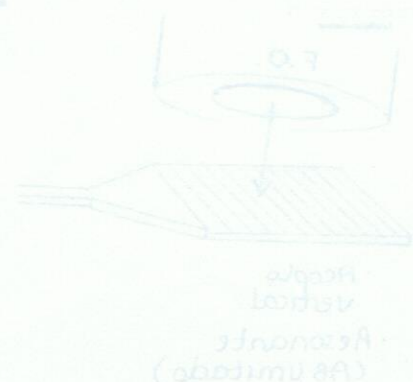
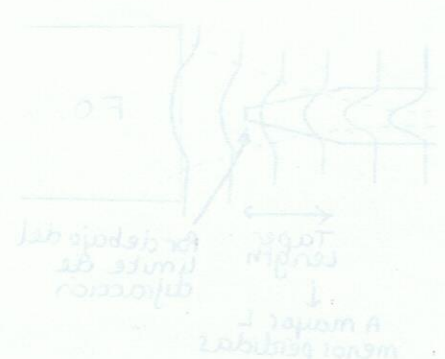
Material	Longitud de onda (nm)
Silicio	100-1100
Germanio	800-1700
Indio galio arsenico (InGaAs)	800-2600
Óxido de plomo	<1000-3500



ESTRUCTURAS DE ACOPLO FIBRA-FIBRA

Alta pérdida de acoplamiento (>10dB) entre fibra óptica y guías ópticas
 nanofotónica debido principalmente a la gran diferencia de tamaño → necesidad de estructuras de acoplamiento

Parámetro	Valor
Perdida de acoplamiento	~ 10 dB
Ángulo de banda	~ 30°
Longitud de acoplamiento	~ 100 μm



TEMA 4: FOTÓNICA EN SILICIO

INTRODUCCIÓN

Origen:

- 1987: "Electrooptic effects in Silicon"
- 1991: "Optical waveguides in SIMOX"

90s: Dispositivos ópticos pasivos

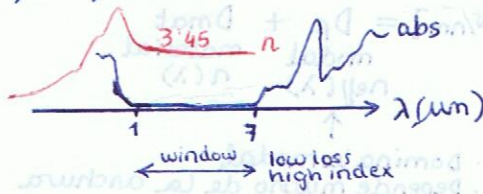
Previsto: Despliegue comercial

- Investigación: IMEC, CEA-Leti
- Empresas: IBM, Intel, Kotura, Luxtera, ...

Propiedades del silicio

VENTAJAS

Región $1.1\mu\text{m} - 7\mu\text{m}$ { - absorción despreciable
- alto índice



DESVENTAJAS

- Baja eficiencia de emisión (laser)
- No tiene efecto electro-óptico
- Transparente en $1.3 - 1.6\mu\text{m}$
↳ no usable en detección

Actualidad

No silicio. Componentes caros y voluminosos
- moduladores (LiNbO₃), láseres (InP)(GaAs),
- Detectores (Ge)

- No fabricación en masa
- Ensamblado complejo y delicado

} solución

Nanofotónica en silicio

Tecnologías de fabricación e infraestructuras compatibles con microelectrónica

- Integración ultra alta
- Fabricación en masa
- Bajo coste

- integración con electrónica
- repetitividad

(+) las ventajas de la óptica

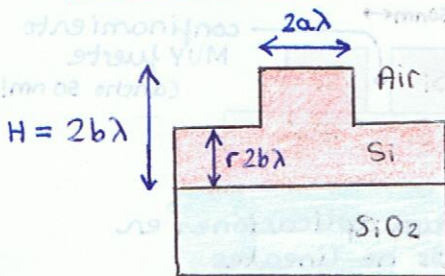
- Ancho de banda
- Alta velocidad
- Menor consumo
- Inmunidad a interferencias

Aplicaciones de interés

- Optical interconnects
Cobre limitado a 10GHz. rack-to-rack, board-to-board, chip-to-chip
- Redes de telecomunicación
- Redes FTTH (Fiber-to-the-home) → demanda componentes
- Redes radio-fibra
- Lab-on-a-chip: (Bio)sensores fotónicos

GUIAS FOTÓNICAS EN SILICIO

→ GUIAS RIB EN SILICIO



- Primeras que se publicaron

- Condición monomodo:

$$\text{si } 2br\lambda \uparrow \rightarrow 0.5 \leq r \leq 1$$

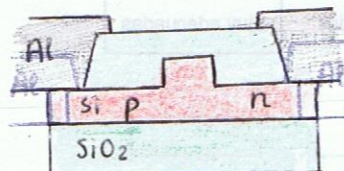
$$\text{si } 2b\lambda < 4\mu\text{m} \rightarrow \frac{a}{b} \leq 0.3 + \frac{r}{\sqrt{1-r^2}}$$

Don dimensioner muy grandes

ej: $\lambda = 1.55\mu\text{m}$
 $H = 7.5\mu\text{m}$

→ Las obleas ahora tienen 220nm de silicio → ya no sirven

- Fácil conectar electrodos para cambiar portadores libres (Δn)

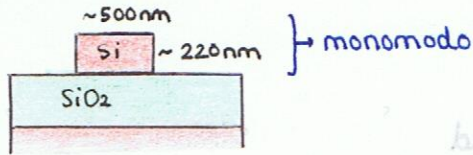


Características deseables:

- Mínimas pérdidas de propagación
- Mínimos radios de curvatura
- Alto confinamiento
- Dispersión controlable { baja: transmisión, alta: funcionalidades
- Ejector no lineales controlables { nulos: transmisión, altos: funcionalidades

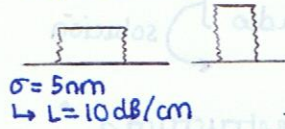
Confinamiento del campo	Radio de curvatura mínimo	Facilidad de fabricación	Aplicaciones no lineales
Alto	Muy alto	Fácil	No adecuadas
Bajo	Bajo	No fácil	No adecuadas

→ GUIAS STRIPE EN SILICIO



• Pérdidas de propagación

Dependen de la rugosidad de las paredes



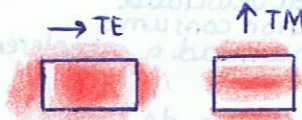
Más pérdidas a mayor altura

Distintos grupos han conseguido distintos resultados

- MIT → 32 dB/cm
- Cornell → 5 dB/cm
- IMEC → 2'4 dB/cm

• Para medirlas: método cut-back
medir longitudes cada vez mayores y
interpolarse la recta

• TE más pérdidas por tener más campo en las paredes



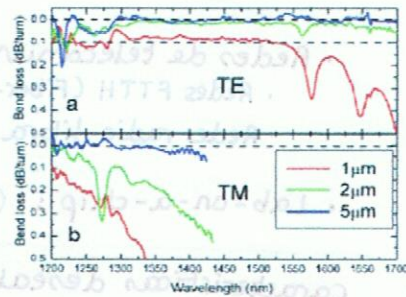
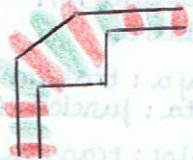
• Pérdidas por curvatura



• Distintas para TE y TM

• Pérdidas despreciables para $R > 5\mu\text{m}$

• Geometrías especiales permiten reducir el radio de curvatura



OBLEAS SOI (Silicon-on-insulator)

Núcleo Si	~ 220 nm
Cubierta inferior SiO ₂	(1 μm - 3 μm)
Substrato Si	750 μm

más baratas que cualquier otro semiconductor

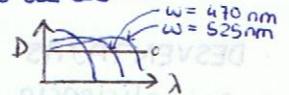
- Deposición resina
- Exposición por litografía
 - ↳ e-beam (lento) (más rápido para sólo 1 chip)
 - ↳ deep-uv (toda la oblea de golpe)
- Revelado (quitar resina)
- Ataque (quitar Si) (mezcla gases)

• Dispersión cromática

$$D = D_{\beta} + D_{mat}$$

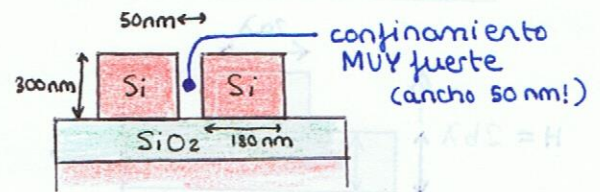
modal material
 $n_{eff}(\lambda)$ $n(\lambda)$

• Domina la modal
• Depende mucho de la anchura de la guía



- $D = 100 \times$ la de F.O. (12 ps/nm*km)
- Pero longitudes 10^{-6} órdenes de magnitud → afecta mucho menos

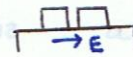
→ GUIAS SLOT EN SILICIO



• Util para aplicaciones en efectos no lineales

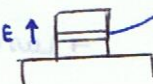
• Vertical:

• Difícil de llenar el hueco tan finito
• Alto confinam. **TE**



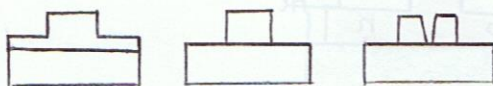
• Horizontal:

• bajo índice
• Alto confinamiento **TM**



→ COMPARACIÓN GUIAS EN SILICIO

	Rib	Stripe	Slot
Confinamiento del campo	Bajo	Alto	Muy alto
Pérdidas por rugosidad	Bajas (0.1 dB/cm)	Elevadas (2-5 dB/cm)	Elevadas (5-10 dB/cm)
Radios de curvatura mínimos	Altos (cientos de micras)	Bajos (algunas micras)	Bajos (algunas micras)
Acoplo a fibra	Eficiente	Ineficiente	Muy ineficiente
Integración densa	No factible	Factible	Factible
Aplicaciones no lineales	No adecuadas	Adecuadas	Muy adecuadas



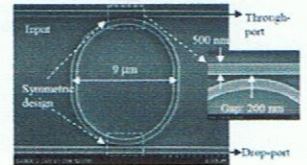
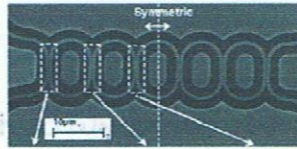
DISPOSITIVOS PASIVOS

Funcionalidades del Tema 3 con guías rib y stripe

ejemplo: divisor/combinador 1xN

ejemplo: filtro con anillos

ejemplo: add/drop con anillos



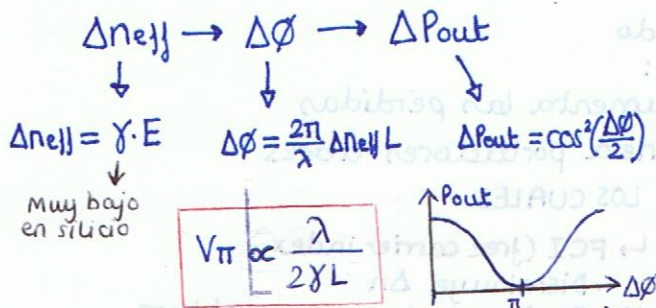
DISPOSITIVOS ACTIVOS

MODULADORES

Tradicional (no silicio)

- Electro-ópticos (efecto Pockels)
 - $\Delta n = f(\vec{E}_{aplicado})$
 - Niobato de Litio ($LiNbO_3$)
 - Convierte modulación de fase en amplitud (interferómetro)
- Electro-absorción (efecto Franz-Keldysh)
 - $\alpha (dB/cm) = f(\vec{E}_{aplicado})$
 - Compuestos III-V

Moduladores silicio basados en MZI

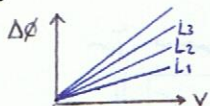


γ bajo \rightarrow requiere longitudes elevadas para conseguir modulador eficiente (bajo $L \cdot V_{\pi}$)

$L \uparrow \rightarrow$

- tamaño grande
- AB reducido
- tiempo de recomb. de portadores en mod. directa
- mayor tamaño electrodos: desadaptación señal eléctrica y óptica

ej. Intel: $L = 2.5mm$, 1Gb/s ☹️



Moduladores en silicio

No hay efecto Pockels
Débil Franz-Keldysh

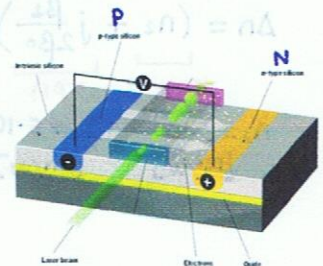
- Efecto térmico
 - índice de refracción $\frac{\partial n}{\partial T} = 1.86 \cdot 10^{-4} / K$ aumenta con la temperatura
 - lento y complicado (calentar homogéneamente)
- Efecto de dispersión de plasma
 - Portadores libres modifican el índice
 - Fórmulas básicas ($\lambda = 1550nm$)

parte real $\Delta n = -a \cdot N_e - b \cdot (N_h)^{0.8}$

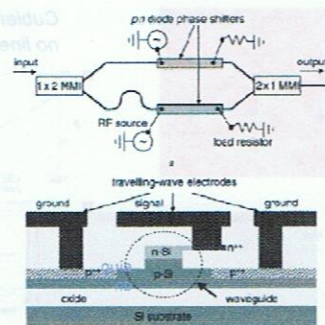
parte mag $\Delta \alpha = c \cdot N_e + d \cdot N_h$

N_e : $n^{\circ} e^-$ libres
 N_h : $n^{\circ} h^+$ libres
 a, b, c, d : ctes > 0

- Los portadores libres se generan dopando el Silicio para formar uniones PN o PIN
- El índice de refracción varía al inyectar (polarización directa) o extraer (polarización inversa) portadores libres de la unión PN o PIN mediante la aplicación de un campo eléctrico externo (corriente eléctrica o voltaje)
- A diferencia del efecto térmico, el índice de refracción disminuye al inyectar portadores libres (aunque la absorción aumenta)
- El efecto de dispersión de plasma es el efecto más utilizado para implementar moduladores en silicio



ej: Artículo 2007. Intel. Efecto de disp. de plasma Mejora la configuración de los electrodos para extraer portadores una vez inyectados, reduciendo el tiempo de recombinación 40Gb/s \rightarrow competitivo con comerciales



• Moduladores en silicio basados en anillo

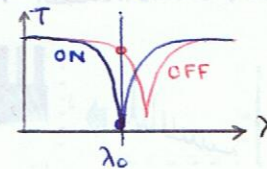


• MUCHO más pequeños (nm en vez de μm)

$$\lambda_{RES} = \frac{n_{eff} \cdot L}{m}$$

$$\Delta n_{eff} \rightarrow \Delta \lambda_{RES}$$

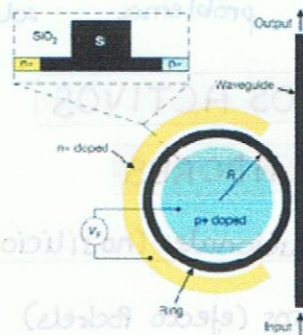
$$\Delta T(\lambda_0)$$



• Máxima relación de extinción con acople óptico

ejemplo: 1'5 Gb/s

- Aún no es comercial
- Limitado por recombinación de portadores



→ **DISPOSITIVOS TODO-ÓPTICO**

- modulación, conmutación, puertas lógicas
- basados en efectos no lineales (cuando la señal de entrada tiene alta pot.)

• Principales efectos no-lineales

• Efecto Kerr: $\Delta I \propto P_{optica}$

- Muy rápido
- Dos órdenes de magnitud mayor que sílice
- Aún así muy ineficiente en silicio

• Efecto TPA (two-photon absorption)

Variación $Im(n)$ en función de P_{optica}

• Rápido
PERO:

- aumenta las pérdidas
- genera portadores libres LOS CUALES

$$\Delta n = \underbrace{(n_2 + j \frac{\beta_2}{2\beta_0})}_{\text{Kerr}} \cdot \frac{P_{opt}}{A_{eff}}$$

$$n_2 = 3 \cdot 10^{-18} \text{ [m}^2/\text{w]}$$

$$\beta_2 = 5 \cdot 10^{-12} \text{ [m/w]}$$

↳ FCI (free carrier index)

- Disminuye Δn
- Efecto opuesto y mayor al Kerr (se contrarrestan)

↳ FCA (free carrier absorption)

- Absorción adicional a la de TPA

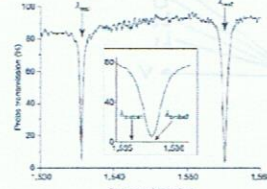
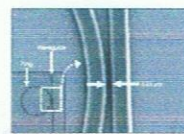
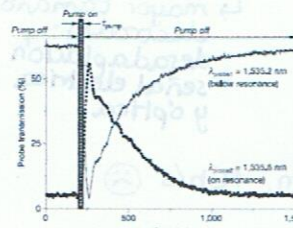
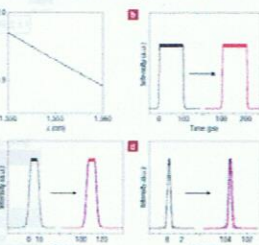
solución propuesta:

- Introducir materiales con alto coeficiente Kerr compatibles con silicio y CMOS
- conmutación ultra rápida (~ps)

ejemplo: usar FCI para modulación/conmutación

- tiempo de recombinación de portadores es largo (>10ns) → limita el AB

Cubiertas de un polímero no lineal con n_2 elevado

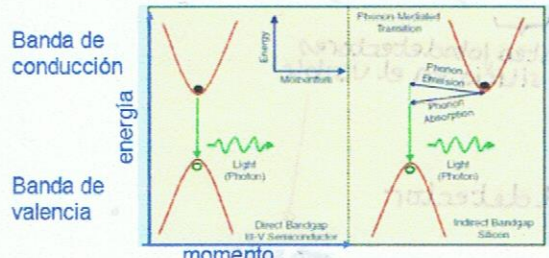


EMISIÓN DE LUZ EN SILICIO

DETECCIÓN DE LUZ EN SILICIO

- La implementación de fuentes de luz es uno de los grandes retos de la fotónica en Silicio
- El Silicio es un material semiconductor de *bandgap* indirecto
 - Los estados de máxima y mínima energía de las bandas de valencia y conducción no tienen el mismo momento

¿Posibles soluciones?



Material con *bandgap* directo (GaAs):
La energía liberada en el proceso de recombinación de los electrones de la b.c. con los huecos de la b.v. da lugar a la emisión de fotones

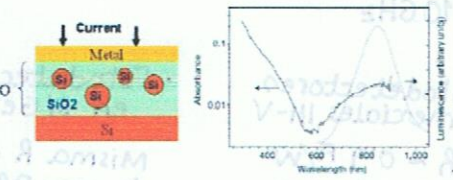
Material con *bandgap* indirecto (Si):
La recombinación se produce mediante la absorción o emisión de un fonón (vibración) → proceso cuántico de 2º orden de probabilidad muy baja

Consecuencia → la eficiencia de conversión electrón-fotón es del orden de 10^{-3} a 10^{-6} en Silicio mientras que es cercano a la unidad en GaAs

- Confinar espacialmente los electrones modificando su momento para superar la limitación de *bandgap* indirecto
- Introducir impurezas de tierras raras (Erbio) como dopantes activos
- Aprovechar el efecto Raman para conseguir ganancia (bombeo óptico)
- Usar láseres III-V acoplados en sustratos de Silicio mediante diferentes técnicas de fabricación y técnicas Flip-chip

1 CONFINAMIENTO ESPACIAL DE LOS ELECTRONES

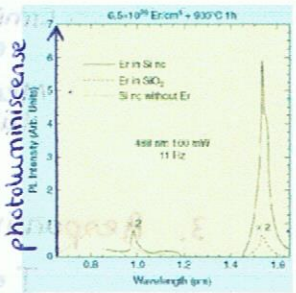
- El confinamiento espacial de un electrón da lugar a una ambigüedad en su momento que puede utilizarse para relajar la diferencia de momento existente aumentando así la probabilidad de emisión de luz
- Una solución propuesta para conseguir este confinamiento es el uso del nanocristales (nc) de Si embebidos en sílice
 - La eficiencia y longitud de onda de la emisión depende del tamaño de los nc
 - Se ha demostrado emisión de luz a 780 nm → no se puede propagar por guías de Silicio
 - Algunos autores discrepan de que la emisión de luz se deba al confinamiento de los electrones



L. Pavesi et al., "Optical gain in silicon nanocrystals", Nature 408 (6811): 440-444, 2000.

2 INTRODUCCIÓN IMPUREZAS COMO DOPANTES ACTIVOS

- El Er se utiliza para implementar fuentes de luz y amplificadores a 1550nm en fibra pero
 - La ganancia por unidad de longitud es baja
 - La inyección de corriente eléctrica es ineficiente ya que la sílice es un aislante
- Por otra parte, la emisión de luz del Silicio dopado con Er sólo es eficiente a temperaturas muy bajas
- Una solución propuesta es utilizar SiO₂ con nanocristales de Si
 - Se consigue mejorar la eficiencia a temperatura ambiente
 - Se reduce el voltaje necesario para alimentar el láser
 - Las potencias de salida demostradas son todavía bajas

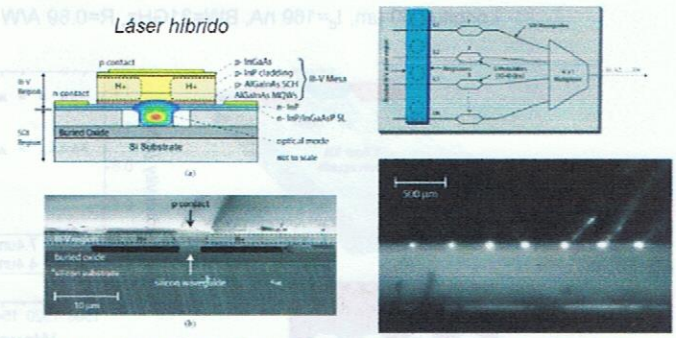


D. Pacifico et al., "Erbium-doped Si nanocrystals: Optical properties and electroluminescent devices," Physica E16, pp. 331-40, 2003.

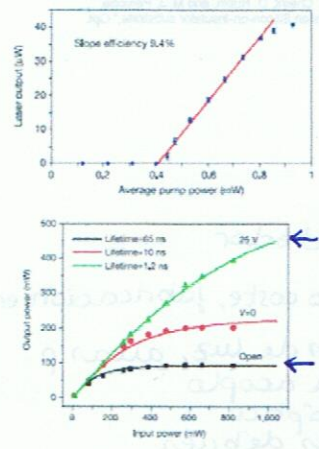
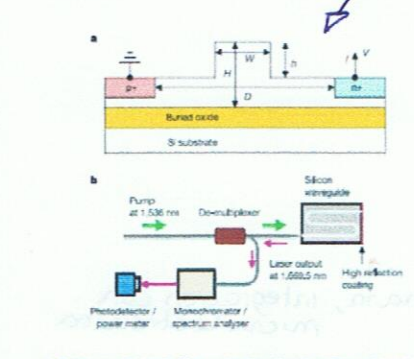
3 EFECTO RAMAN

- El efecto Raman es un efecto no-lineal que se basa en la generación de una longitud de onda a partir de otra por excitación de un fonón
- El efecto Raman en Silicio es cuatro órdenes de magnitud mayor que en sílice
 - Se ha propuesto para implementar fuentes ópticas → necesita otro láser para bombeo óptico → **láser que necesita un láser**
 - Aplicaciones más interesantes: amplificación y conversión de longitud de onda
- Sin embargo, la potencia máxima de salida está limitada por el efecto no-lineal de TPA (Two-photon absorption)
 - Generación de portadores libres que introducen absorción además de disminuir el índice de refracción
 - ¿Técnicas eliminación portadores libres? fuentes pulsadas o extracción eléctrica mediante una unión pn operando en polarización inversa

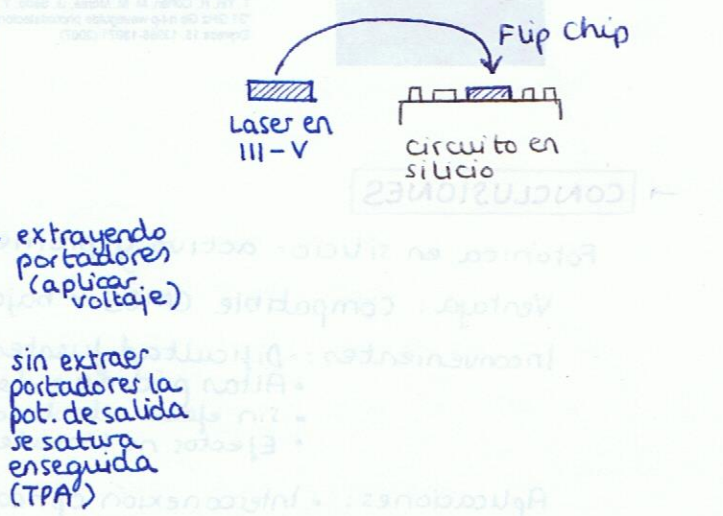
4 LÁSERES III-V ACOPLADOS A SUBSTRATOS DE SILICIO



A. W. Fang, H. Park, O. Cohen, R. Jones, M. J. Paniccia, and J. E. Bowers, "Electrically pumped hybrid AlGaInAs-silicon evanescent laser," Opt. Express 14, 9203-9210 (2006)



O. Boyraz and B. Jalali, "Demonstration of a silicon Raman laser," Opt. Exp. vol. 12, pp. 5269-5273, 2004.
H. Rong et al., "An all-silicon Raman laser," Nature, vol. 433, pp. 292-294, 2005.



extrayendo portadores (aplicar voltaje)
sin extraer portadores la pot. de salida se satura enseguida (TPA)

→ DETECCIÓN DE LUZ EN SILICIO

Silicio:

transparente $\lambda > 1.1 \mu\text{m}$ → No es posible detección de luz a 1550 nm

Solución: Dopar con Germanio

- compatible con tecnología CMOS
- se requieren concentraciones $> 50\%$ que dificulta la fabricación

Parámetros claves:

1. Corriente de oscuridad (I_d)

- Corriente generada cuando no incide luz sobre el detector
- Interesa I_d baja para mayor sensibilidad

- ☺ Silicio puro: elevada calidad cristalina → I_d muy bajo (en el visible)
- ☹ Dopar con Germanio: dislocaciones en la cte de red ~ aumenta I_d

2. Ancho de banda

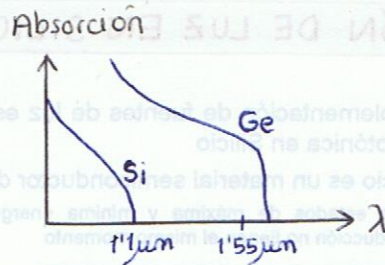
- Limitado por el tiempo de tránsito de los portadores hasta los contactos eléctricos
- Menor penetración de luz en material → capa delgada de fotodetector → más fácil y rápido extraer electrones hasta los electrodos
ej: penetración 2mm → AB 10 GHz

3. Responsividad (R)

$$I_{\text{electrica out}} = R \cdot P_{\text{optica in}}$$

• Fotodetectores comerciales III-V
 $R \sim 0.9 \text{ A/W}$
aumenta con el coef. de absorción

• Fotodetectores en SiGe
Misma R a costa de peor AB e I_d

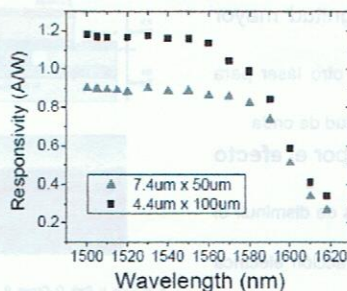
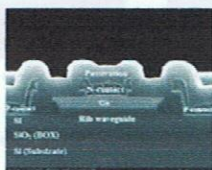


Existen fotodetectores de silicio en el visible

pero sólo

■ Fotodetector de Ge sobre SOI para 1550 nm (Intel)

□ Longitud 50 μm , $I_d = 169 \text{ nA}$, BW=31GHz, R=0.89 A/W



T. Yin, R. Cohen, M. M. Morse, G. Sarid, Y. Chetrit, D. Rubin, and M. J. Paniccia. "31 GHz Ge n-p waveguide photodetectors on Silicon-on-Insulator substrate." Opt. Express 15, 13965-13971 (2007)

→ CONCLUSIONES

Fotónica en silicio: activo y prometedor

Ventaja: compatible CMOS → bajo coste, fabricación en masa, integración con microelectrónica

- Inconvenientes:
- Dificultad fuentes de luz
 - Altas pérdidas de acoplo
 - Sin efecto electroóptico
 - Efectos no lineales débiles

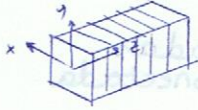
- Aplicaciones:
- Interconexión óptica (diferentes niveles)
 - Redes de telecomunicación de acceso
 - Biosensores

TEMA 5. CRISTALES FOTOÓNICOS

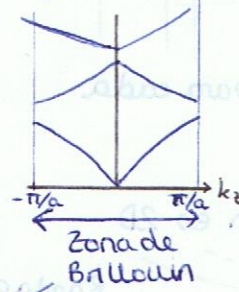
1D

$$E_x(z) = E_0 e^{jk_0 z} u_k(z) = E_0 \sum e_n e^{i(k_0 + nG)z}$$

$\sum e_n e^{i n G z}$
 $G_z = \frac{2\pi}{a}$
 sumatorio de ondas planas cada $G = \frac{2\pi}{a}$

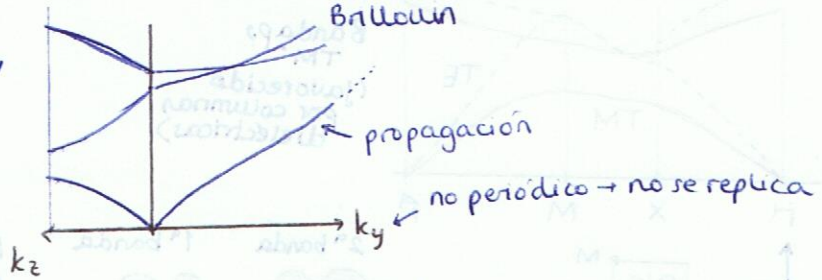


Contraste de índices \Rightarrow siempre existe bandgap en k_z

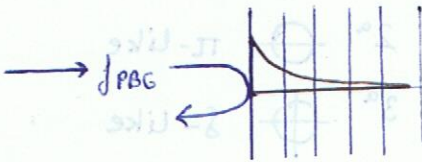


mayor bandgap a mayor contraste

Propagación en Y

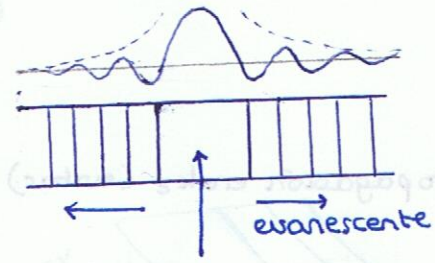
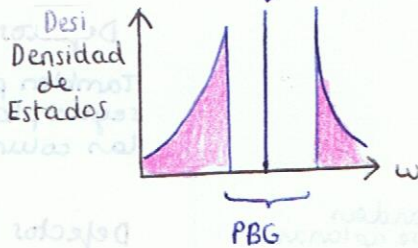


Modos evanescentes



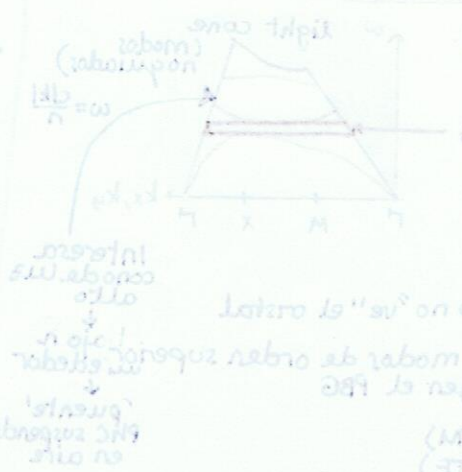
Solución válida
 No satisfacen simetría translacional (no existen en el medio infinito)

Cavidades



La frec de resonancia de la cavidad baja para cavidades grandes (más dieléctrico)

Estados superficiales
 Evanescentes en PnC por estar en el PBG
 Evanescentes en el aire por estar fuera del rango de las posibilidades de PnC

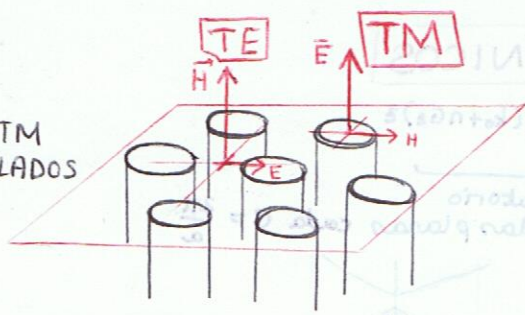


Cristales fotónicos planares
 Incluir propagación en k_z se genera un continuo de estados que destruye las posibilidades de PnC
 El modo no ve el orden inferior
 Mejor modo de orden superior destruyen el PBG
 El óptico



2D

TE y TM DESACOPLADOS

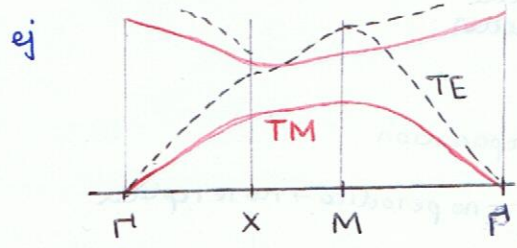


PBG diferentes para cada polarización

Bandgaps TM: favorecidos por E↑↑ aisladas

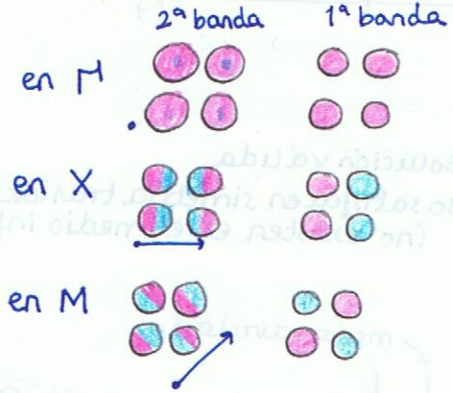
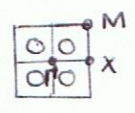
Bandgaps TE favorecidos por E↔ aisladas i.e. red de dieléctrico conectada

La zona de Brillouin es 2D

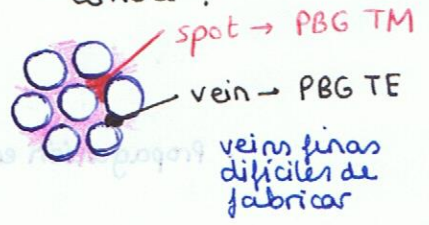


Bandgap TM (favorecido por columnas dieléctricas)

aspecto del campo igual en todas las celdas (no cambia fase)



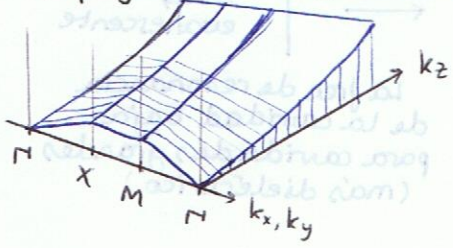
¿cómo conseguir ambos?



La banda N tiene N-1 planos nodales (nulos) por columna

- 1ª ○ σ-like
- 2ª ⊖ π-like
- 3ª ⊕ δ-like

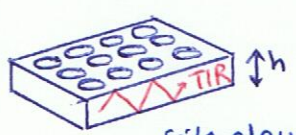
Propagación en k_z (evitar)



$k_z \uparrow$ → banderas se aplanan → luz quieta por cilindros dieléctricos

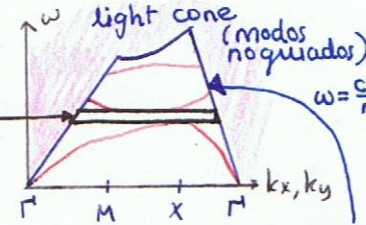
Si incluimos propagación en k_z se genera un continuo de estados que destruye la posibilidad de PBG

Cristales fotónicos planares



TIR en z

sólo algunos k_z están permitidos: ¡YA NO se genera un continuo de estados!



Interesa cono de luz alto → bajo n alrededor → 'puente' PhC suspendido en aire



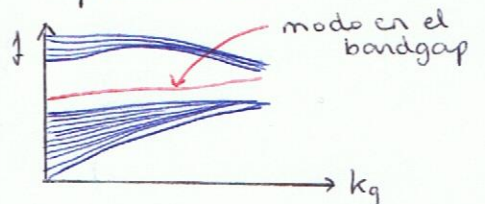
si $h \downarrow$ → el modo no "ve" el cristal
si $h \uparrow$ → muchos modos de orden sup destruyen el PBG

Simetría respecto a $z=0$ { even (los antiguos TM) / odd (los antiguos TE)

Defectos puntuales

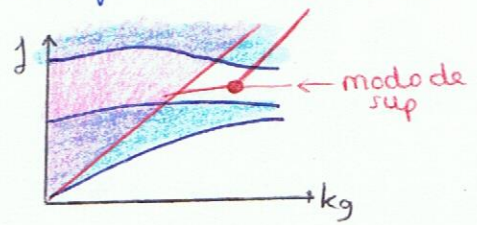
También pueden ser σ, π, δ-like según planos nodales en las columnas adyacentes

Defectos lineales



Estados superficiales

- Evanescentes en PhC por estar en el PBG
- Evanescentes en el aire por estar fuera del cono de luz



depende del plano de corte (inclinación, terminación)